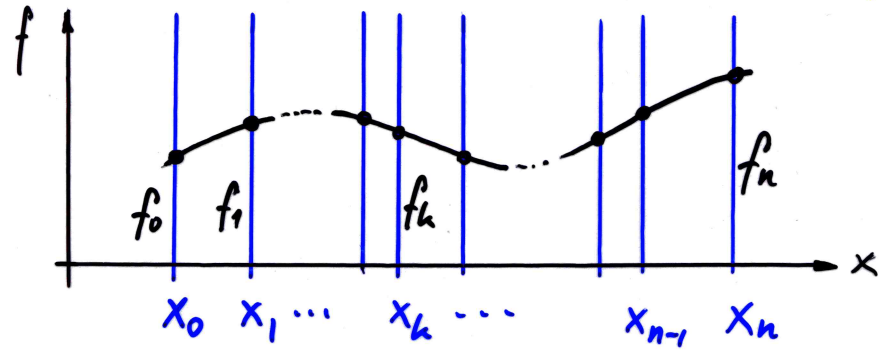


6. Interpolation

6.1. Problemstellung

Rekonstruktion einer Funktion aus diskreten Punkten ("sampled values")



Gegeben : $n+1$ **Stützstellen** x_0, \dots, x_n , **alle verschieden**
 $n+1$ **Stützwerte** f_0, f_1, \dots, f_n
 (diskrete Werte einer Funktion $f(x)$ in $x_0 \leq x \leq x_n$)

Gesucht : Approximation $p(x)$ für $f(x)$ in $x_0 \leq x \leq x_n$,
 z.B. zur Gewinnung von Zwischenwerten.

Interpolationsbedingung

(1)
$$p(x_k) = f_k, \quad k = 0, 1, \dots, n$$

Man braucht einen **Ansatz** für $p(x)$,
 z.B. $p(x)$ periodisch, $p(x) =$ Exponentialsumme, ...

Einfachster Fall:

$p(x) =$ Polynom vom Grad $\leq n$

$n+1$ Parameter für $n+1$ Bedingg. (1). **1-deut. Lösung?**

6.2. Das Lagrange-Polynom

Wie man es nicht machen soll:

$$(2) \quad p(x) = a_0 + a_1 x + a_2 x^2 + \dots + a_n x^n$$

Interpolationsbedingung (1) ergibt

$$\begin{pmatrix} 1 & x_0 & x_0^2 & \dots & x_0^n \\ 1 & x_1 & x_1^2 & \dots & x_1^n \\ \vdots & \vdots & \vdots & \ddots & \vdots \\ 1 & x_n & x_n^2 & \dots & x_n^n \end{pmatrix} \begin{pmatrix} a_0 \\ a_1 \\ \vdots \\ a_n \end{pmatrix} = \begin{pmatrix} f_0 \\ f_1 \\ \vdots \\ f_n \end{pmatrix}$$

$V \in \mathbb{R}^{(n+1) \times (n+1)}$, Vandermonde-Matrix

- Ist das lineare Gleichungssystem lösbar?
- Wie löst man es effizient und genau?

Bemerkungen:

- $\text{cond}(V)$ ist häufig gross
- Gauss-Elimination, Aufwand = $\frac{n^3}{3}$ Operationen ist viel zu **teuer**; es geht **schneller**!

Gute Methode:

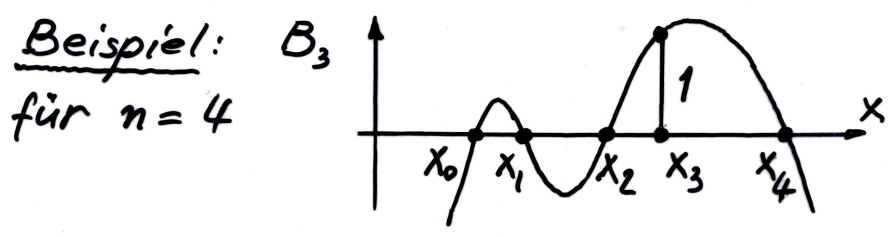
Basisfunktionen von Lagrange

- einfach
- liefert Existenz und Eindeutigkeit
- liefert effiziente Algorithmen

Bestimme Basisfunktionen $B_k(x)$ mit

(3) $B_k(x_l) = \delta_{kl} = \begin{cases} 1 & \text{für } k=l \\ 0 & \text{für } k \neq l \end{cases}$

(4) $\Rightarrow B_k(x) = \frac{\prod_{i \neq k} (x - x_i)}{\prod_{\substack{i=0 \\ i \neq k}}^n (x_k - x_i)}$, $k = 0, 1, \dots, n$
($n+1$ Polynome vom Grad = n)



Dann erfüllt

(5) $p(x) := \sum_{k=0}^n f_k B_k(x)$

die Interpolationsbedingung (1)

- Bemerkung: - $p(x)$ hat Grad $\leq n$
- Dies funktioniert immer, wenn alle x_k verschieden. **Existenzbeweis!**

Eindeutig? **Ja:**

Seien $p(x), q(x)$ zwei Lösungen; $\Delta(x) := p(x) - q(x)$.
 Δ vom Grad $\leq n$ mit $n+1$ Nullstellen $x_k \Rightarrow \Delta(x) \equiv 0$.

SATZ. Für $n+1$ verschiedene Stützstellen x_k ($k=0, 1, \dots, n$) und beliebige Stützwerte f_k existiert genau ein Interpol. polynom p vom Grad $\leq n$ mit $p(x_k) = f_k, k=0, \dots, n$

6.3. Die baryzentrische Formel

Effiziente Auswertung von p
an gegebener "Neustelle" x .

Def. $L(x) := \prod_{i=0}^n (x - x_i)$ Produkt aller Linearfaktoren

$$w_k := \frac{1}{\prod_{\substack{i=0 \\ i \neq k}}^n (x_k - x_i)}, \quad k = 0, 1, \dots, n$$

"Stützkoefizienten"

Damit wird (4) :

$$B_k(x) = L(x) \underbrace{\frac{w_k}{x - x_k}}_{C_k(x)} = L(x) \cdot C_k(x)$$

(5) ergibt :

$$(6) \quad p(x) = L(x) \cdot \sum_{k=0}^n f_k C_k(x) \quad \text{mit} \quad C_k(x) := \frac{w_k}{x - x_k}$$

↑
unabhängig von f_k

(6) muss f. beliebige Wahl von $\{f_k\}$ gelten,

z. B. für $f_k = 1 (k=0, \dots, n) \Rightarrow f(x) \equiv 1$.

Damit folgt aus (6) :

$$1 = L(x) \cdot \sum_{k=0}^n C_k(x) \quad \Rightarrow \quad L(x) = \frac{1}{\sum_{k=0}^n C_k(x)}$$

Zusammenfassung

Seien x_0, x_1, \dots, x_n $n+1$ verschiedene Stützst.

f_0, f_1, \dots, f_n $n+1$ zugehörige Funktionswerte

Gegeben : "Neustelle" x .

Algorithmus: Auswertung $p(x)$

(i) Berechne Stützcoeff., $w_k = \frac{1}{\prod_{\substack{i=0 \\ i \neq k}}^n (x_k - x_i)}$, $k=0, \dots, n$
 Aufwand: $O(n^2)$
 allein die Stütz gehen ein!

(ii) Für Neustelle x :

$$c_k := \frac{w_k}{x - x_k}, \quad k = 0, 1, \dots, n$$

Damit

$$p(x) = \frac{\sum_{k=0}^n c_k f_k}{\sum_{k=0}^n c_k}$$

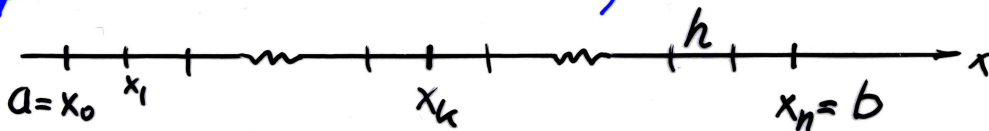
Aufwand: $O(n)$; die f_k gehen erst zuletzt ein!

Bemerkung: Falls $x = x_k$, setze z.B. $c_k = 10^{20}$ ($\geq \frac{1}{\text{eps}}$).

Die Stützcoeffizienten

Zwei wichtige Spezialfälle

(a) Äquidistante Stützstellen, Schritt = h .



$$w_k = \frac{1}{h^n \cdot k(k-1) \dots 1 \cdot (-1)^{n-k} \cdot 1 \cdot 2 \dots (n-k)}$$

ein Vielfaches von w_k :

$$w_k^* = (-h)^n n! w_k = (-1)^k \binom{n}{k}, \quad k = 0, \dots, n$$

die Binomialkoeffizienten mit alternierenden Vorz.

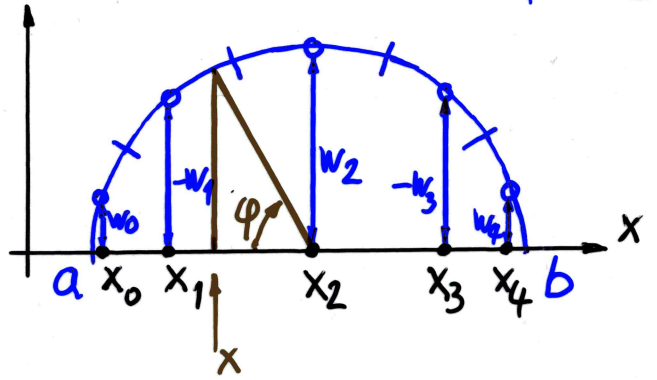
Beispiel: $n = 3$

$$w_k^* = \{1, -3, 3, -1\}$$

(b) Tschebyschev-Punkte

$$x_k := \frac{a+b}{2} + \frac{a-b}{2} \cos\left(\frac{(k+\frac{1}{2})\pi}{n+1}\right)$$

$$k = 0, 1, \dots, n$$



Allgemein gilt

$$w_k = \lim_{x \rightarrow x_k} \frac{x - x_k}{\prod_{i \neq k} (x - x_i) \cdot (x - x_k)} = \lim_{x \rightarrow x_k} \frac{x - x_k}{L(x) - \underbrace{L(x_k)}_0}$$

(7) Also:

$$w_k = \frac{1}{L'(x_k)}$$

$$k = 0, 1, \dots, n$$

$$\text{mit } L(x) = \prod_{i=0}^n (x - x_i)$$

Berechnung von $L(x)$ für die T-Punkte:

$$\text{Setze } x := \frac{a+b}{2} + \frac{a-b}{2} \cos \varphi, \quad 0 \leq \varphi \leq \pi$$

Wegen $L(x_k) = 0$ für $k=0, 1, \dots, n$ folgt

$$(8) \quad L(x) = c \cdot \cos(n+1)\varphi \quad \text{mit } c = \text{const.}$$

Differentiation nach φ ergibt:

$$(9) \quad L'(x) \cdot \frac{b-a}{2} \sin \varphi = -(n+1) \cdot c \cdot \sin(n+1)\varphi$$

Für w_k brauchen wir $L'(x_k)$; also setze

$$x = x_k, \quad \text{d.h. } \varphi = \varphi_k := \frac{(k+\frac{1}{2})\pi}{n+1}$$

$$(10) \quad \sin(n+1)\varphi_k = (-1)^k$$

Resultat aus (7), (9), (10):

$$w_k = \text{const.} \cdot (-1)^k \frac{b-a}{2} \sin \frac{(k+\frac{1}{2})\pi}{n+1} \quad k=0, \dots, n$$

6.4. Problematik der Polynominterpolation

SATZ: Sei f auf dem Intervall $I := [a, b]$ $(n+1)$ mal stetig differenzierbar, und sei p das zu den paarweise verschiedenen Stützstellen $x_k \in I, k = 0, \dots, n$ gehörige Interpolationspolynom vom Grad $\leq n$, d.h. $p(x_k) = f(x_k), k = 0, \dots, n$.

Dann existiert zu einer beliebigen Neustelle $x \in I$ ein $\xi_x \in I$, so dass

$$f(x) - p(x) = \frac{1}{(n+1)!} L(x) \cdot f^{(n+1)}(\xi_x),$$

wobei

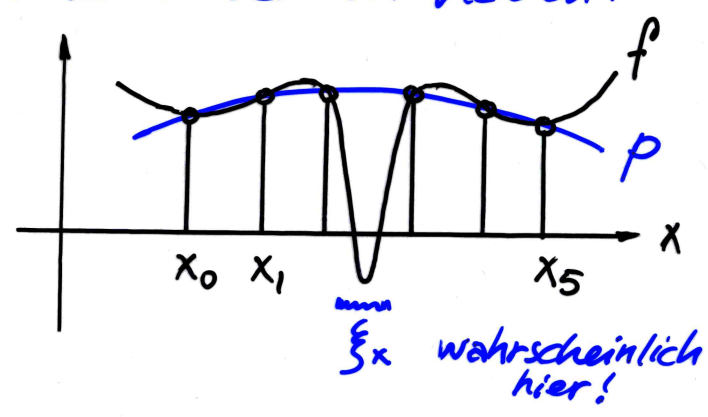
$$L(x) = (x-x_0)(x-x_1)\dots(x-x_n).$$

Beweis: Siehe z.B. Schwarz

Folgerungen: Grosse Interpolationsfehler können 2 Ursachen haben:

(i) $|f^{(n+1)}(\xi_x)|$ gross

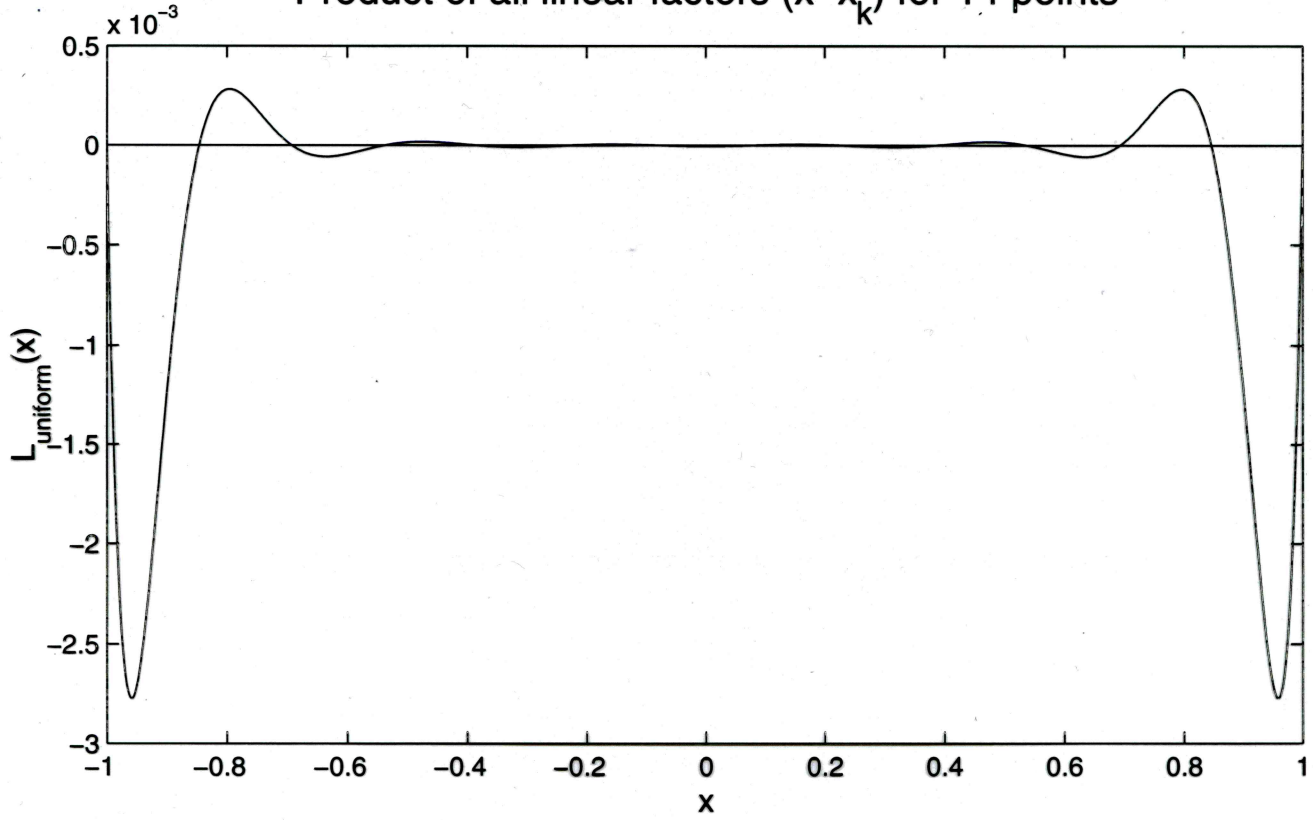
Es liegt an f !
Stützstellen dichter!



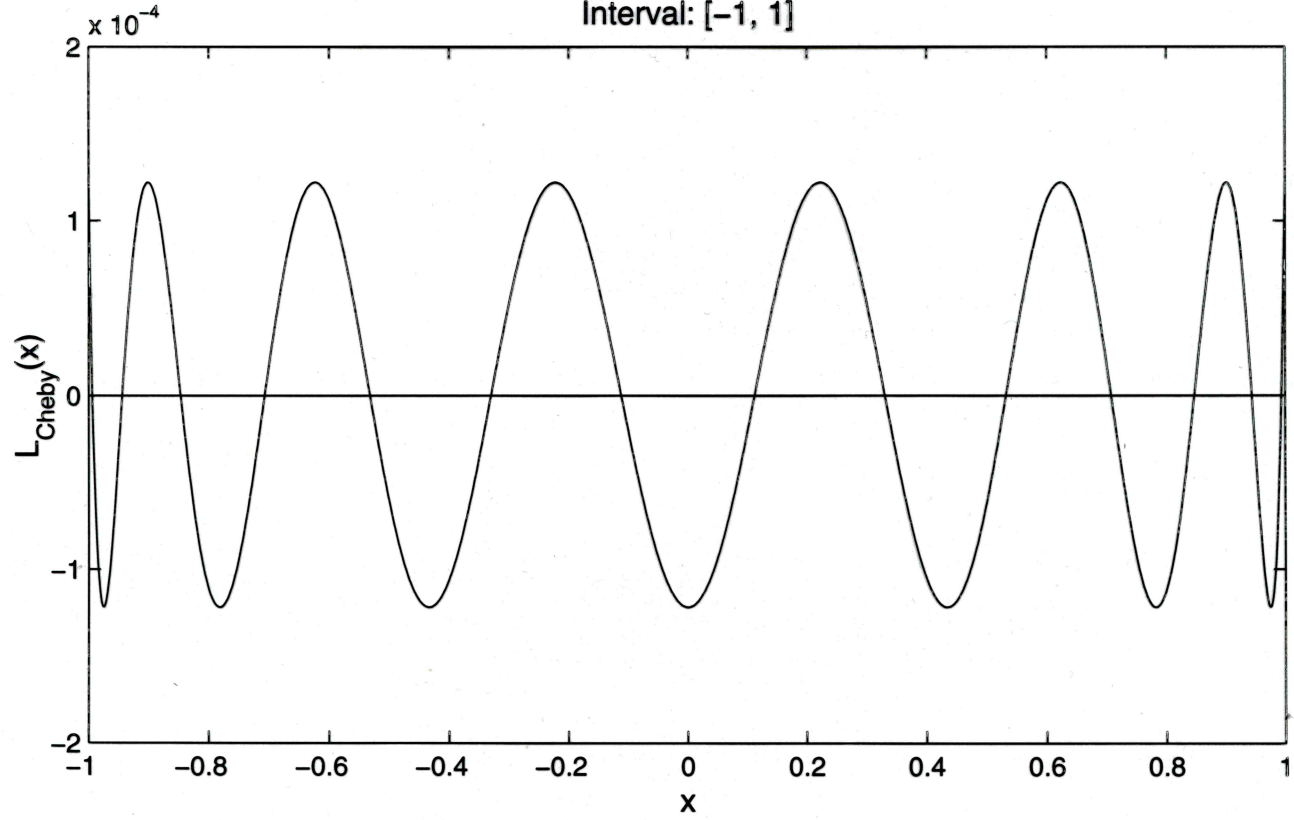
(ii) $|L(x)|$ gross

- Viele äquidistante Stützstellen ungünstig!
- Besser: Verdichtung der Stützstellen am Intervallrand, z.B. Tschebyschev-Punkte.
- Siehe Figuren S. 99 - 101

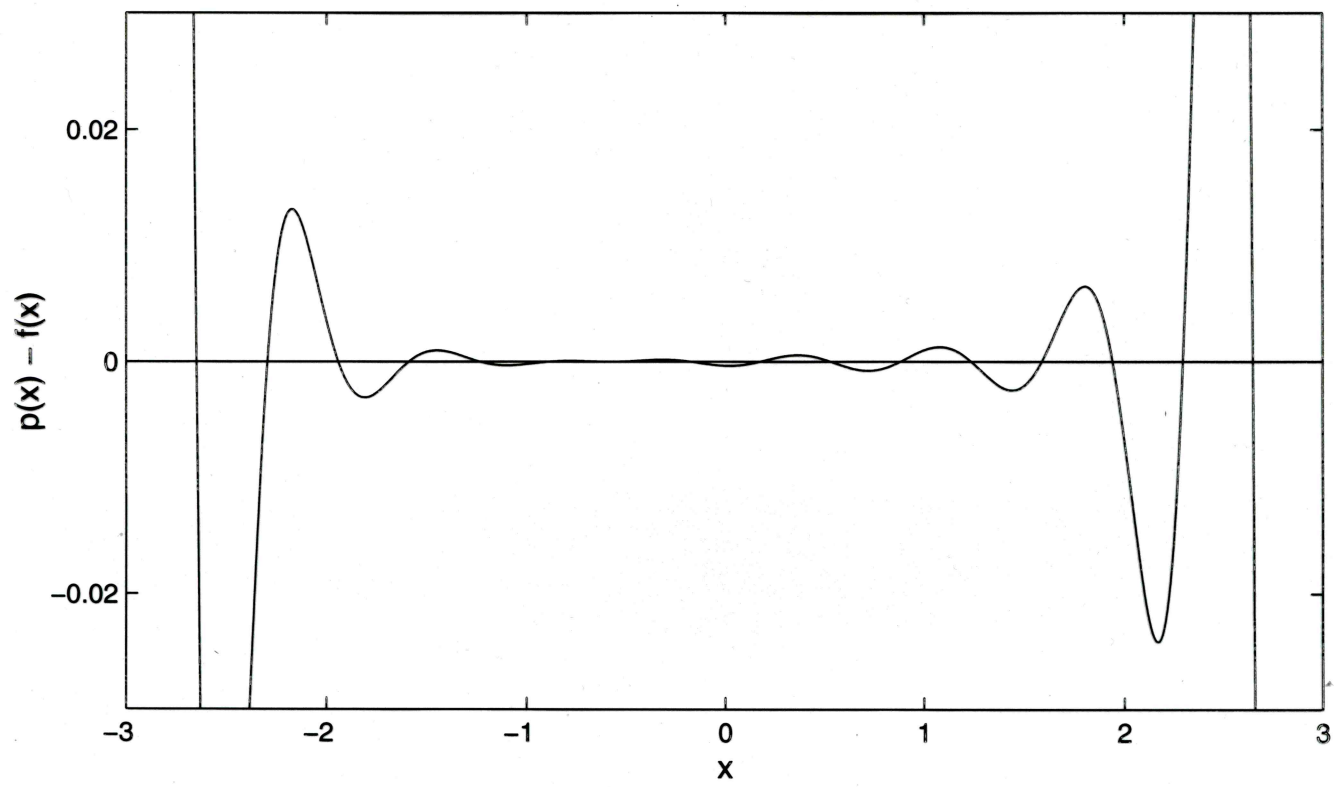
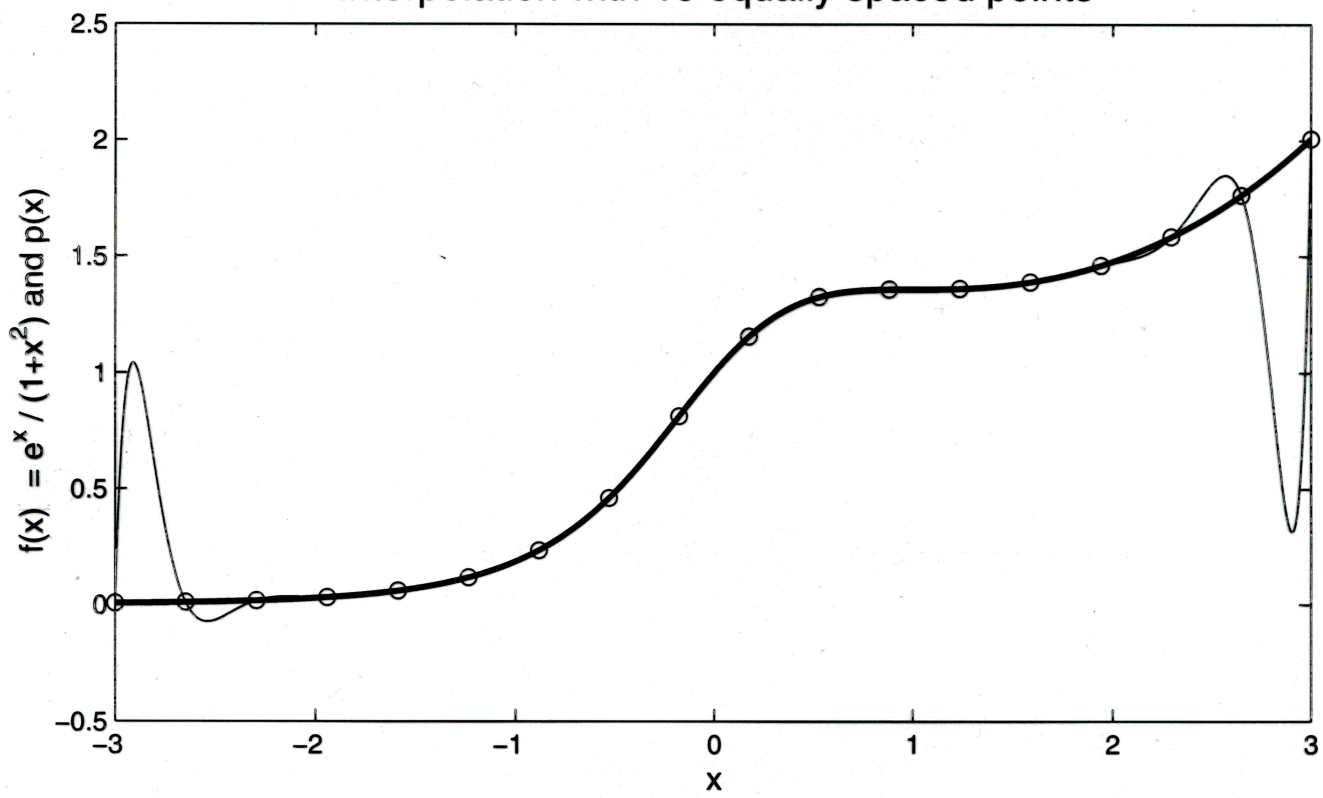
Product of all linear factors $(x-x_k)$ for 14 points



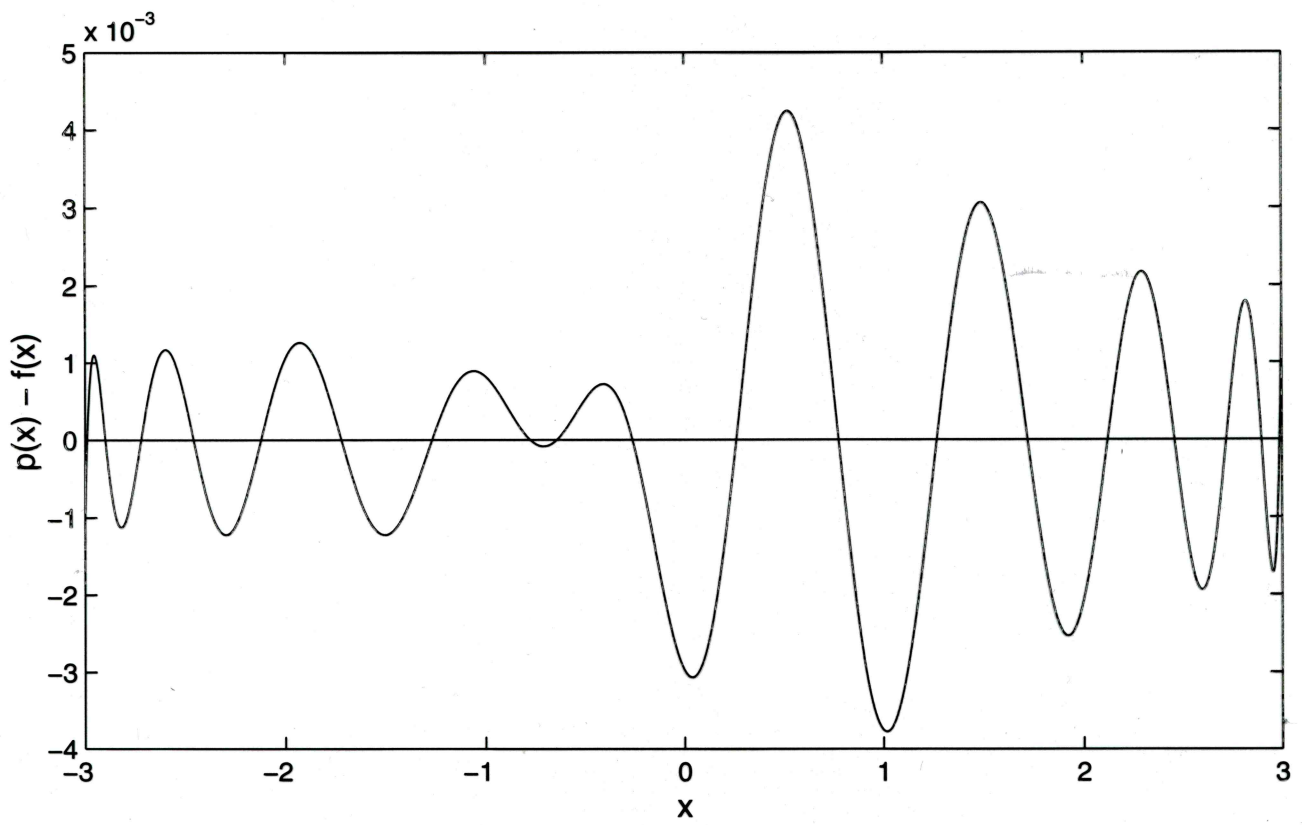
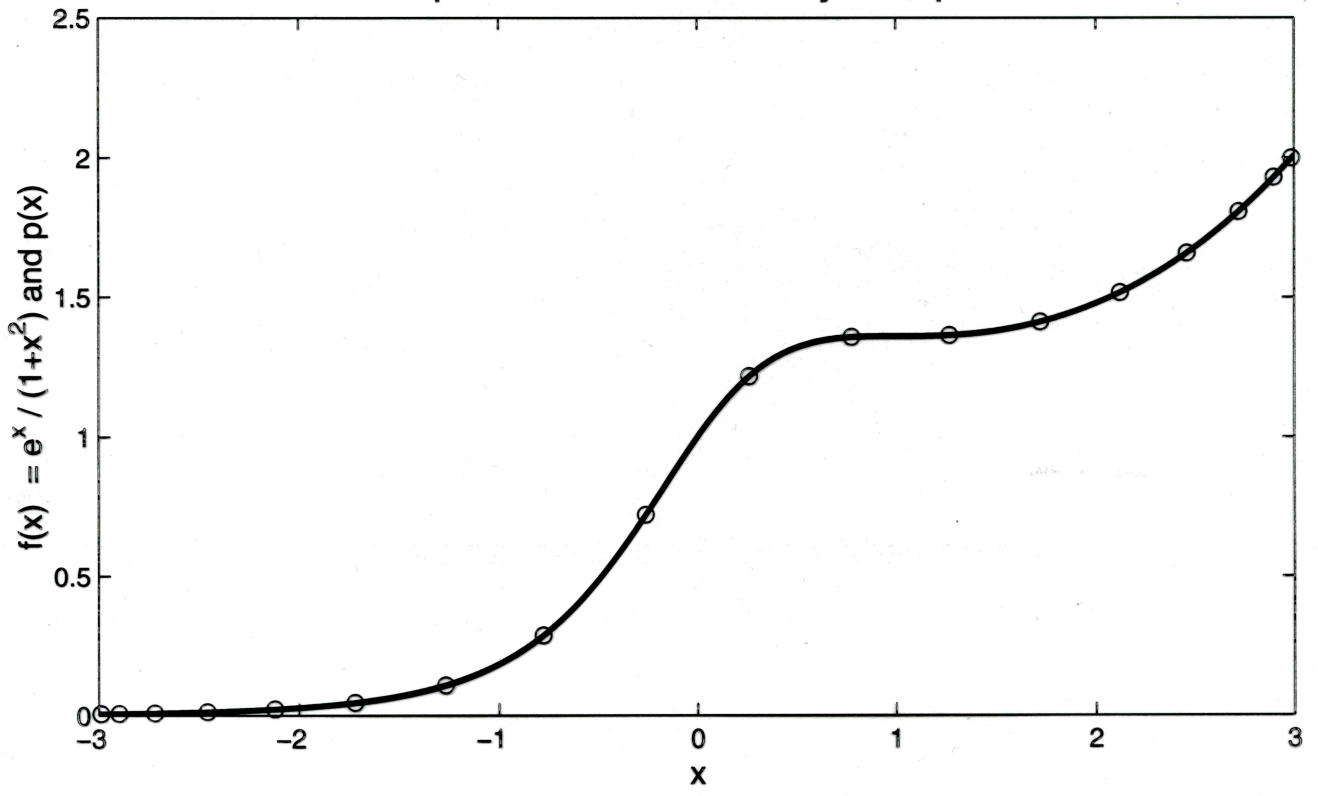
Interval: [-1, 1]



Interpolation with 18 equally spaced points



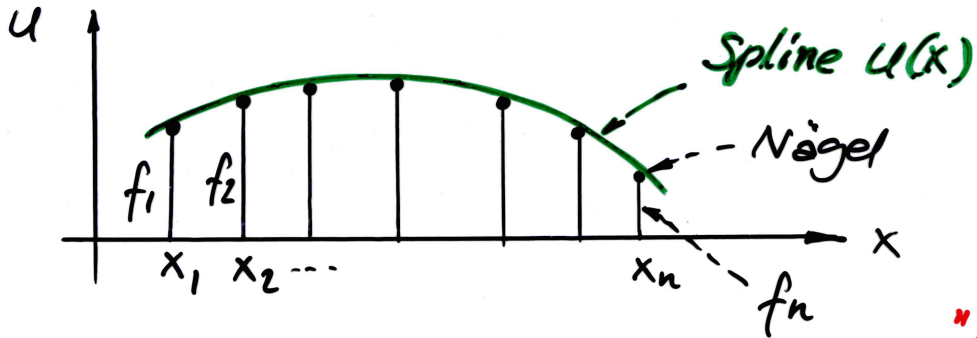
Interpolation with 18 Chebyshev points



6.5. Kubische Splines

Neuer Ansatz für die interpolierenden Funktionen: Idee aus dem Schiffbau

Engl. "spline" = biegsame Holzlatte



x_i :
"Knoten"

Gesucht: $u = u(x)$, so dass

(i) u 2 mal stetig differenzierbar, d.h. $u''(x)$ stetig, stetige Krümmung

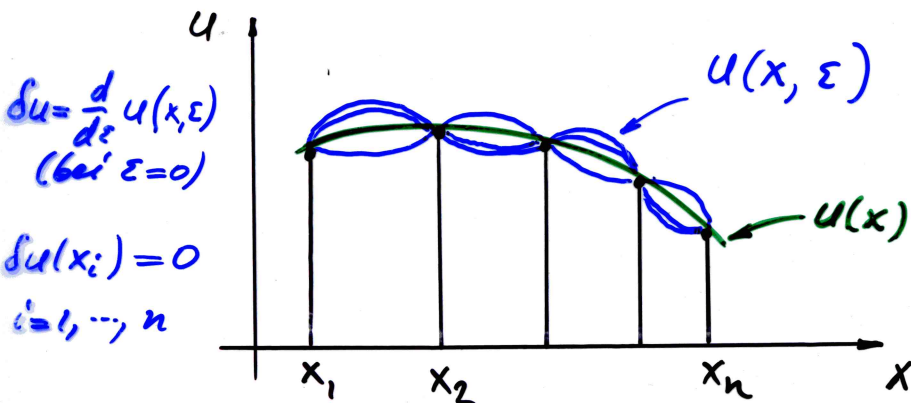
(ii) $u(x_i) = f_i$, $i = 1, 2, \dots, n$

(iii) Elastische Deformationsenergie = \min :

$$E(u) := \frac{1}{2} \int_{x_1}^{x_n} [u''(x)]^2 dx \stackrel{!}{=} \min$$

Sorgt für möglichst kleine Auslenkungen zwischen den x_i

Lösung mit Variationsrechnung:



$$\delta u = \frac{d}{d\epsilon} u(x, \epsilon) \quad (\text{bei } \epsilon=0)$$

$$\delta u(x_i) = 0 \quad i=1, \dots, n$$

Konkurrenzchar:

$$u(x, \epsilon), u(x, 0) = u(x)$$

$$u(x_i, \epsilon) = f_i$$

fixiert an den x_i

$$\delta E = \int_{x_1}^{x_n} u''(x) \cdot (\delta u(x))'' dx$$

$$= u''(\delta u)' \Big|_{x_1}^{x_n} - \int_{x_1}^{x_n} u'''(x) (\delta u(x))' dx$$

$$= \underbrace{u''(\delta u)' \Big|_{x_1}^{x_n}}_{=0} - \underbrace{u''' \delta u \Big|_{x_1}^{x_n}}_{=0} + \underbrace{\int_{x_1}^{x_n} u^{(4)} \cdot \delta u \cdot dx}_{=0} = 0$$

Lemma der Varirechnung
 → jeder Term für sich = 0!

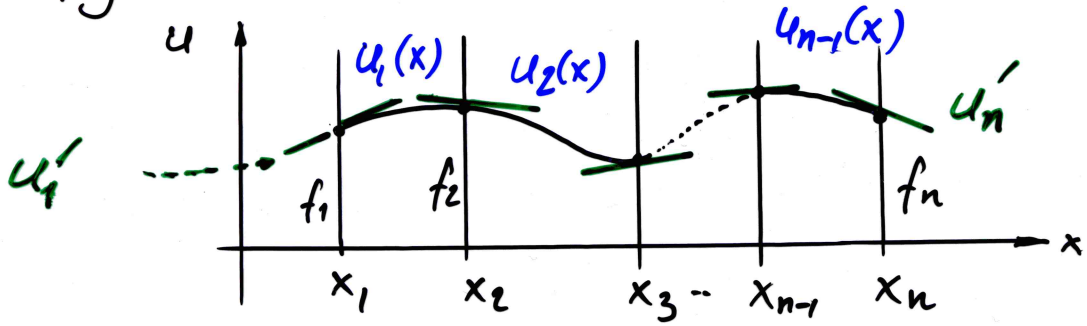
natürliche Randbed. $\left\{ \begin{array}{l} u''(x_1) = 0, \\ u''(x_n) = 0, \\ u'' \text{ stetig in } x_2, x_3, \dots, x_{n-1} \end{array} \right.$

automatisch erfüllt wegen $\delta u(x_i) = 0, i = 1, \dots, n$

$u^{(4)}(x) = 0$
 $\forall x \neq x_i$
 ↓
 u ist stückweise kubisches Polynom

Zusammengefasst:

Algebraisches Problem:



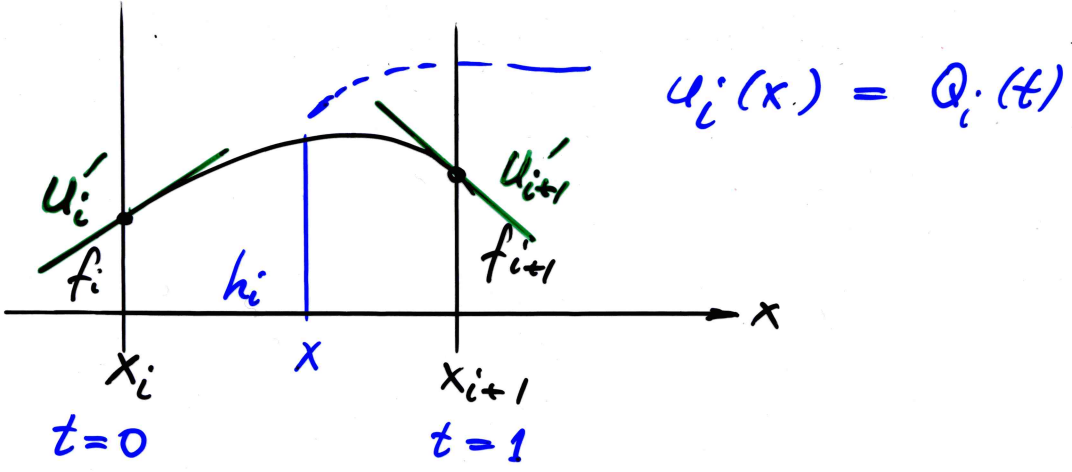
$u_i(x)$: kubische Polynome, $i = 1, 2, \dots, n-1$

n Unbekannte: u_i' , $i = 1, 2, \dots, n$

n Bedingungen: $u_i''(x_1) = 0$ ($i = 1, \dots, n-2$)

(1) $u_i''(x_{i+1}) = u_{i+1}''(x_{i+1}),$
 $u_{n-1}''(x_n) = 0$

Hermite - Interpolation



Lokale Variable : $t := \frac{x - x_i}{h_i}$, $0 \leq t \leq 1$

mit $h_i := x_{i+1} - x_i$, $i = 1, \dots, n-1$

Differentiationsregel: $\frac{d}{dt} = h_i \frac{d}{dx}$

oder $()' = h_i ()'$

Bedingungen:

$$(2) \quad \begin{array}{ll} Q_i(0) = f_i & Q_i(1) = f_{i+1} \\ \dot{Q}_i(0) = h_i u_i' & \dot{Q}_i(1) = h_i u_{i+1}' \end{array}$$

Behauptung

Das Hermite-Interpolationspolynom $u_i(x)$ schreibt sich in der lokalen Variablen t als

$$(3) \quad Q_i(t) = a_0 + (b_0 + (c_0 + d_0 t)(t-1)) t,$$

wobei die Koeffizienten a_0, b_0, c_0, d_0 dem folgenden Differenzenschema entstammen :

$$\begin{aligned}
 a_{-1} &= f_i & b_{-1} &= h_i u_i' \\
 \textcircled{a_0} &= f_i & \textcircled{b_0} &= f_{i+1} - f_i & \textcircled{c_0} &= b_0 - b_{-1} & \textcircled{d_0} &= c_1 - c_0 \\
 a_1 &= f_{i+1} & & & c_1 &= b_1 - b_0 & & \\
 a_2 &= f_{i+1} & b_1 &= h_i u_{i+1}' & & & &
 \end{aligned}$$

Bemerkung: Sehr effizienter Auswertungsalgorithmus: **Alg. von Casteljau**

Beweis: Bedingungen (2) nachrechnen!

Zur Formulierung der Bedingungen (1) brauchen wir die **zweiten** Ableitungen:

$$u_i''(x) = \frac{1}{h_i^2} \ddot{Q}_i(t)$$

$$\begin{aligned}
 (3) \Rightarrow \quad \ddot{Q}_i(t) &= 2c_0 + d_0(6t-2) \\
 \ddot{Q}_i(t) &= 6d_0 \\
 \ddot{Q}_i(0) &= 4c_0 - 2c_1 = 6b_0 - 4b_1 - 2b_1 \\
 \ddot{Q}_i(1) &= -2c_0 + 4c_1 = -(6b_0 - 2b_1 - 4b_1)
 \end{aligned}$$

Bedingungen (1) \Rightarrow

$$\frac{\ddot{Q}_i(1)}{h_i^2} = \frac{\ddot{Q}_{i+1}(0)}{h_{i+1}^2}, \quad i = 1, \dots, n-2$$

Dazu für natürliche Splines (aus Variationsproblem: Wendepunkte am Rand):

$$\ddot{Q}_1(0) = 0, \quad \ddot{Q}_{n-1}(1) = 0$$

Gleichungssystem für die Unbekannten

u'_1, u'_2, \dots, u'_n :

$$-\frac{1}{2h_1^2} \ddot{Q}_1(0) = -3h_1^{-2}(f_2 - f_1) + 2h_1^{-1}u'_1 + h_1^{-1}u'_2 = 0$$

(4)

$$-3h_i^{-2}(f_{i+1} - f_i) + h_i^{-1}u'_i + 2h_i^{-1}u'_{i+1} =$$

$i=2, \dots, n-2$ $\left\{ \begin{aligned} &3h_{i+1}^{-2}(f_{i+2} - f_{i+1}) - 2h_{i+1}^{-1}u'_{i+1} - h_{i+1}^{-1}u'_{i+2} \end{aligned} \right.$

$$\frac{1}{2h_{n-1}^2} \ddot{Q}_{n-1}(1) = -3h_{n-1}^{-2}(f_n - f_{n-1}) + 2h_{n-1}^{-1}u'_n + h_{n-1}^{-1}u'_{n-1} = 0$$

Abkürzungen:

$$r_i := \frac{1}{h_i}, \quad i = 1, 2, \dots, n-1$$

(5)

$$c_i := \frac{1}{h_i^2}(f_{i+1} - f_i), \quad i = 1, 2, \dots, n-1$$

Damit lautet das lineare Gleichungssystem (4):

$$(6) \quad A \cdot \underline{u}' = \underline{b}, \quad \underline{u}' = (u'_1, \dots, u'_n)^T \in \mathbb{R}^n$$

mit

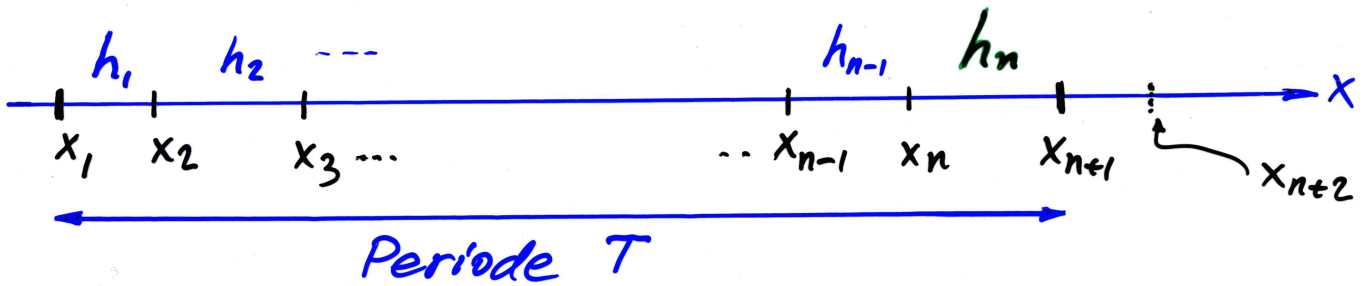
$$(7) \quad A = \begin{bmatrix} 2r_1 & r_1 & & & & & & 0 \\ r_1 & 2(r_1+r_2) & r_2 & & & & & \\ & r_2 & 2(r_2+r_3) & r_3 & & & & \\ & & \ddots & \ddots & \ddots & & & \\ & & & r_{n-2} & 2(r_{n-2}+r_{n-1}) & r_{n-1} & & \\ 0 & & & & r_{n-1} & 2r_{n-1} & & \end{bmatrix}, \quad \underline{b} = 3 \begin{bmatrix} c_1 \\ c_1 + c_2 \\ c_2 + c_3 \\ \vdots \\ c_{n-2} + c_{n-1} \\ c_{n-1} \end{bmatrix}$$

für natürliche Splines

Lösung von (6): LR-Zerlegung mit Diagonal-Pivots
Aufwand: $O(n)$, billig!

Zwei wichtige Varianten:

(i) Periodische Splines



Periodizität: $x_{n+i} = x_i + T$, $i = 1, 2, \dots$
 $f_{n+i} = f_i$

Definiere Abkürzungen (5) für $i = 1, 2, \dots, n$

Gleichungssystem (6) wie oben, aber mit

$$A = \begin{bmatrix} 2(r_n + r_1) & r_1 & & & & & r_n \\ r_1 & 2(r_1 + r_2) & r_2 & & & & 0 \\ & r_2 & 2(r_2 + r_3) & r_3 & & & \\ & & & & & & \\ & 0 & & & & & \\ & & & r_{n-2} & 2(r_{n-2} + r_{n-1}) & r_{n-1} & \\ & & & & r_{n-1} & 2(r_{n-1} + r_n) & \\ r_n & & & & & & \end{bmatrix}, \quad \underline{b} = \begin{bmatrix} c_n + c_1 \\ c_1 + c_2 \\ c_2 + c_3 \\ \vdots \\ c_{n-2} + c_{n-1} \\ c_{n-1} + c_n \end{bmatrix}$$

Matrix A ist tridiagonal und "zyklisch"
 Lösungsaufwand: ebenfalls $O(n)$.

(ii) de Boor - Splines

Ersetze die natürlichen Randbed. $\ddot{Q}_1(0) = 0$,

$\ddot{Q}_{n-1}(1) = 0$ durch de Boors

"not a knot condition": (nicht aus Variationsrechnung ableitbar)

u''' stetig in $x = x_2, \dots, x_{n-1}$

Geometrisch: Spline im **ersten und zweiten** Teilintervall ist **dasselbe Polynom** Ebenso im **letzten und zweitletzten** Teilintervall.

Formelmässig :

$h_1^{-3} \ddot{Q}_1(1) = h_2^{-3} \ddot{Q}_2(0); \quad h_{n-2}^{-3} \ddot{Q}_{n-2}(1) = h_{n-1}^{-3} \ddot{Q}_{n-1}(0)$

Modifiziere erste und letzte Gleichung von (7):

$A =$

$r_1 \quad r_1+r_2$
Zeilen # 2 bis $n-1$ von (7)
$r_{n-2}+r_{n-1} \quad r_{n-1}$

, $\underline{b} =$

$2c_1 + (c_1+c_2)h_1/(h_1+h_2)$
Zeilen # 2 bis $n-1$ von (7)
$2c_{n-1} + (c_{n-2}+c_{n-1})h_{n-1}/(h_{n-2}+h_{n-1})$

Bemerkung :

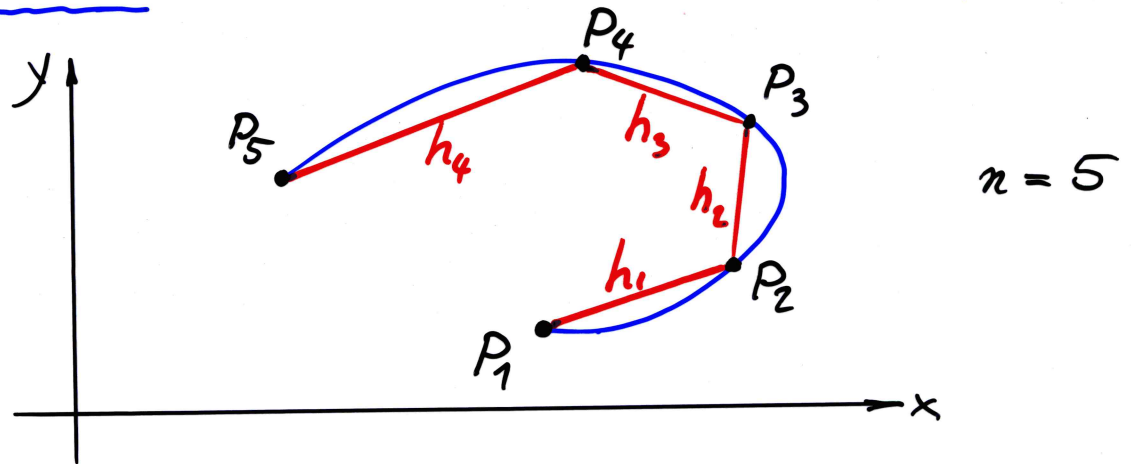
- Natürliche Splines verwenden, falls sich nat. RB (Wendepunkte am Rand) aufdrängen.
- Periodische Splines vor allem für geschlossene Kurven (siehe unten).
- de Boor - Splines ergeben i.o. etwas "schönere" Kurven als natürliche Splines.

Parametrische Spline-Kurven

(109)

Gegeben: Punktefolge P_1, P_2, \dots, P_n der Ebene

Gesucht: "Schöne" Kurve durch P_1, \dots, P_n



Bemerkung: y ist i.a. keine eindeutige Funktion von x !

Idee: Suche Parameterdarstellung
 $x = f(t), y = g(t)$,
mit einem geeigneten Kurvenparameter t .

Einfache, gut funktionierende Wahl:

$t =$ Bogenlänge auf dem die Punkte P_1, \dots, P_n verbindenden Polygonzug:

Sei $h_i := \text{dist}(P_i, P_{i+1})$, $i = 1, \dots, n-1$

Spline-Knoten in der Variablen t :

$$t_i = \sum_{j=1}^{i-1} h_j$$